

骨材の付着強度に関する実験

北海道大学

正員

○ 奈良 次

"

"

佐伯 昇

"

"

藤田嘉夫

1. まえがき

コンクリートの複合構造の解説は土木工事における設計、施工技術の進歩に重要な役割を果すものであり、近年多くの研究者によって2種々研究がなされている。コンクリート中の骨材界面におけるボンドクラックはその先端附近に応力集中を引きこむによつて骨材間のモルタル部分にクラックが生じてコンクリートとしづの破壊を生じると考えられる。また、コンクリート中の骨材の存在はクラックアレスト作用を生じるので骨材とモルタル、ペースト間の付着の問題はコンクリートの変形、破壊を知るうえで最も重要な問題である。本研究ではこの問題の一考案として骨材の物理的性質試験およびモルタル部分と骨材の付着(はくり)強度試験を行ない、これら二つの試験結果を比較するにによりその相関性を求めたものである。

2. 骨材の物理的性質試験

骨材の物理的性質を知るために静内川産の川砂利よりも中に比較的多く含まれていける Tab.-1 に示す3種の岩石について 2-1 ~ 2-3 のような実験を行なった。

尚、Tab.2~5 の No. はすべて Tab.-1 の No. と同じである。

2-1. 吸水量および比重

骨材の吸水量(γ)および比重(ρ)は JIS A1110-51 「粗骨材の比重および吸水量試験方法」により測定した。結果を Tab.-2 に示す。

2-2. 圧縮強度、ヤング率、セン断弾性係数、ポアソン比

圧縮強度(G_B)、ヤング率(E)、セン断弾性係数(G_T)、ポアソン比(ν)を知るため Tab.-1 に示す岩石の比較的大きなものよりダイヤモンドカッターで Fig.-1 のような供試体を各6本ずつ切りとり載荷面は研磨盤によつて上下両面の平行度に注意して平面度 0.01 mm に仕上げ以後試験日3日前まで水中養生を施し空中乾燥を行ない Fig.-1 のように 10 mmゲージを縦、横2枚ずつ粘りつけで歪を測定しながら圧縮強度試験を行なった。結果を平均値で示せば Tab.-3 の通りである。

2-3. 表面あらさ

骨材表面のあらさはモルタルとの結合部分における応力の流れを乱し付着強度を左右する重要な要素と考えられる。本研究では Fig.-2 に示す表面あらさ計により測定針圧 0.5 g、触針からダイヤモンド針、測定速度 0.2 mm/sec、測定距離 10 mm、うねりカットオフ値 0.8 mm として Fig.-3 のような表面あらさを測定した。Fig.-3 の差異を JIS B0601-1970 により最大高さ(R_{max})、10点平均あらさ(R_a)を表示した。また、骨材とモルタル部分の結合構造を考えると Fig.-3 の凹凸部にマトリックスが入り込み付着するのであるから付着面積は凹凸分だけ大となると考えられるので Fig.-3 のあらさ曲線より平均的な部分 50 mm をとりだし Fig.-4 のように細かな直線のつながったものに近似し、基長 x_1, x_2, \dots, x_n を測り、その平方和 Σx_i^2 を計算し総基長分の面積に対する凹凸部分を考慮した面積比 $\tilde{\nu}_A$ を求めた。

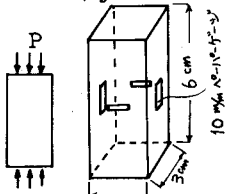
Tab.-1

No.	岩石種類
1	片麻岩
2	火成岩
3	堆積岩

Tab.-2

No.	ρ	γ (%)
1	2.15	0.78
2	2.66	0.83
3	2.21	1.06

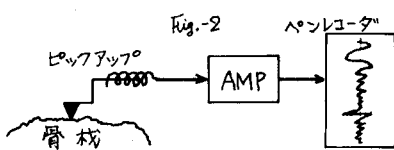
Fig.-1



Tab.-3

No.	G_B (kg/cm^2)	E (kg/cm^2)	ν	G_T (kg/cm^2)
1	654	314	0.23	128
2	1255	626	0.40	224
3	965	433	0.37	160

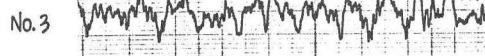
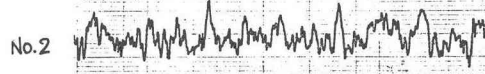
Fig.-2



$$\text{すなまち } \sum l_i = \sqrt{x_i^2 + y_i^2}, \sum x_i = 50 \text{ mm}, \bar{x}_A = (\sum l_i / \sum x_i)^2$$

R_{max} , R_2 , \bar{x}_A の測定結果を Tab.-4 に示す。

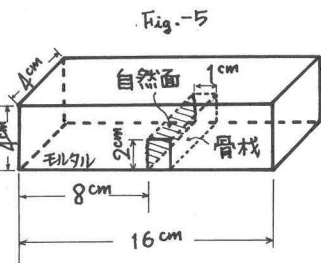
Fig.-3 縦200倍、横10倍、下部骨材内部 500μ



3. はくり強度試験

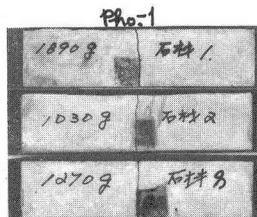
骨材とモルタルのはくり強度を知るために Fig.-4 に示す供試体を各岩石 3 本づつ作製した。この供試体は $W/C = 0.65$, $S/C = 2$ (砂:標準砂) のモルタルに斜線部分が自然面となるよう $2 \text{ cm} \times 1 \text{ cm} \times 4 \text{ cm}$ の大きさに切りとった骨材も打設直前まで水中養生し、これを埋込み打設して 14 日水中養生を行なったもので、これをミハリエス曲げ試験機により Fig.-6 のように載荷し、供試体実寸法を測定し、これを用いてはくり破壊時の最大引張応力を算定し、この $\bar{\sigma}_{Tmax}$ によりはくり強度を表わした。Pho.-1 は破壊の一例であり、Tab.-5 は各 3 本づつの $\bar{\sigma}_{Tmax}$ の平均値を示したものである。

Fig.-4



Tab.-4

No.	R_{max} (μ)	R_2 (μ)	\bar{x}_A
1	81	64	1.3187
2	72	49	1.0808
3	71	57	1.1226



Tab.-5

No.	$\bar{\sigma}_{Tmax}$ (kg/cm ²)
1	25.2
2	15.0
3	18.2

4. 考察

骨材の物理的性質とはくり強度との関係を知るため前者を横軸に、後者を縦軸にとって表現したのが Fig.-7 である。Fig.-7 によれば ϑ , G_B , E , G , σ が増加するに従って $\bar{\sigma}_{Tmax}$ が減少するのにに対して、 R_2 , R_{max} , \bar{x}_A が増加すると $\bar{\sigma}_{Tmax}$ も増加し、特に \bar{x}_A は $\bar{\sigma}_{Tmax}$ と非常によい線形関係を示している。すなまち、 ϑ が大きいほど骨材の内部は密な状態となり E , R_2 , G は大きくなり、従って G_B は大きくなるのでこれらの値の大きい骨材は長い年月の間に表面が機械的作用や風化作用によって破損して凹凸状態となる場合が少々なく、逆にこれらの値が小さい場合は凹凸は激しくなると考えられ。この凹凸の大小は骨材とマトリックス間に生ずる応力集中度に影響する諸弾性係数と相関性をもつてはくり強度を左右する重要な要素であることが知られた。特に Fig.-7 によりはくり強度に対する凹凸は付着面積の増加という形で影響を与えていることがわかった。また σ と $\bar{\sigma}_{Tmax}$ の相関性については明らかな関係は認められなかった。

5. 謝 辞

本研究をすすめるにあたり、骨材のあらさ測定について測定機の提供および指導をしていただいた北大工学部精盤工学科の岸浪、三好両氏に心より感謝の意を表します。

